

Starkniederschlagshöhen und -spenden gemäß KOSTRA-DWD-2020

Rasterfeld 161099

(Zeile 161, Spalte 99)

Regenspende und Bemessungsniederschlagswerte in Abhängigkeit von Wiederkehrzeit T und Dauerstufe D

| Dauerstufe D | | Wiederkehrzeit T | | | | | | | | | | | | | | | | | |
|--------------|-----|------------------|------------|------|------------|------|------------|------|------------|-------|------------|-------|------------|-------|------------|-------|------------|-------|------------|
| | | 1 a | | 2 a | | 3 a | | 5 a | | 10 a | | 20 a | | 30 a | | 50 a | | 100 a | |
| min | Std | mm | l / (s ha) | mm | l / (s ha) | mm | l / (s ha) | mm | l / (s ha) | mm | l / (s ha) | mm | l / (s ha) | mm | l / (s ha) | mm | l / (s ha) | mm | l / (s ha) |
| 5 | | 7,1 | 236,7 | 8,6 | 286,7 | 9,5 | 316,7 | 10,8 | 360,0 | 12,6 | 420,0 | 14,4 | 480,0 | 15,7 | 523,3 | 17,3 | 576,7 | 19,5 | 650,0 |
| 10 | | 8,9 | 148,3 | 10,8 | 180,0 | 12,0 | 200,0 | 13,5 | 225,0 | 15,8 | 263,3 | 18,1 | 301,7 | 19,7 | 328,3 | 21,6 | 360,0 | 24,5 | 408,3 |
| 15 | | 10,0 | 111,1 | 12,2 | 135,6 | 13,5 | 150,0 | 15,3 | 170,0 | 17,9 | 198,9 | 20,5 | 227,8 | 22,2 | 246,7 | 24,5 | 272,2 | 27,7 | 307,8 |
| 20 | | 10,9 | 90,8 | 13,3 | 110,8 | 14,7 | 122,5 | 16,7 | 139,2 | 19,5 | 162,5 | 22,3 | 185,8 | 24,2 | 201,7 | 26,7 | 222,5 | 30,2 | 251,7 |
| 30 | | 12,3 | 68,3 | 14,9 | 82,8 | 16,6 | 92,2 | 18,8 | 104,4 | 21,9 | 121,7 | 25,1 | 139,4 | 27,2 | 151,1 | 30,0 | 166,7 | 34,0 | 188,9 |
| 45 | | 13,8 | 51,1 | 16,8 | 62,2 | 18,6 | 68,9 | 21,0 | 77,8 | 24,6 | 91,1 | 28,2 | 104,4 | 30,5 | 113,0 | 33,7 | 124,8 | 38,1 | 141,1 |
| 60 | 1 | 14,9 | 41,4 | 18,2 | 50,6 | 20,2 | 56,1 | 22,8 | 63,3 | 26,6 | 73,9 | 30,5 | 84,7 | 33,1 | 91,9 | 36,5 | 101,4 | 41,3 | 114,7 |
| 90 | 1,5 | 16,7 | 30,9 | 20,3 | 37,6 | 22,6 | 41,9 | 25,5 | 47,2 | 29,8 | 55,2 | 34,2 | 63,3 | 37,1 | 68,7 | 40,8 | 75,6 | 46,2 | 85,6 |
| 120 | 2 | 18,1 | 25,1 | 22,0 | 30,6 | 24,5 | 34,0 | 27,7 | 38,5 | 32,3 | 44,9 | 37,0 | 51,4 | 40,1 | 55,7 | 44,2 | 61,4 | 50,1 | 69,6 |
| 180 | 3 | 20,2 | 18,7 | 24,6 | 22,8 | 27,3 | 25,3 | 30,9 | 28,6 | 36,1 | 33,4 | 41,4 | 38,3 | 44,9 | 41,6 | 49,5 | 45,8 | 56,0 | 51,9 |
| 240 | 4 | 21,9 | 15,2 | 26,6 | 18,5 | 29,6 | 20,6 | 33,5 | 23,3 | 39,1 | 27,2 | 44,8 | 31,1 | 48,6 | 33,8 | 53,5 | 37,2 | 60,6 | 42,1 |
| 360 | 6 | 24,5 | 11,3 | 29,8 | 13,8 | 33,1 | 15,3 | 37,4 | 17,3 | 43,7 | 20,2 | 50,1 | 23,2 | 54,3 | 25,1 | 59,8 | 27,7 | 67,7 | 31,3 |
| 540 | 9 | 27,3 | 8,4 | 33,3 | 10,3 | 37,0 | 11,4 | 41,8 | 12,9 | 48,8 | 15,1 | 56,0 | 17,3 | 60,7 | 18,7 | 66,9 | 20,6 | 75,7 | 23,4 |
| 720 | 12 | 29,6 | 6,9 | 36,0 | 8,3 | 40,0 | 9,3 | 45,2 | 10,5 | 52,8 | 12,2 | 60,6 | 14,0 | 65,7 | 15,2 | 72,3 | 16,7 | 81,9 | 19,0 |
| 1080 | 18 | 33,0 | 5,1 | 40,2 | 6,2 | 44,7 | 6,9 | 50,5 | 7,8 | 59,0 | 9,1 | 67,7 | 10,4 | 73,3 | 11,3 | 80,8 | 12,5 | 91,5 | 14,1 |
| 1440 | 24 | 35,7 | 4,1 | 43,5 | 5,0 | 48,3 | 5,6 | 54,7 | 6,3 | 63,8 | 7,4 | 73,2 | 8,5 | 79,3 | 9,2 | 87,4 | 10,1 | 99,0 | 11,5 |
| 2880 | 48 | 43,2 | 2,5 | 52,6 | 3,0 | 58,4 | 3,4 | 66,1 | 3,8 | 77,1 | 4,5 | 88,4 | 5,1 | 95,9 | 5,5 | 105,6 | 6,1 | 119,6 | 6,9 |
| 4320 | 72 | 48,2 | 1,9 | 58,7 | 2,3 | 65,3 | 2,5 | 73,8 | 2,8 | 86,1 | 3,3 | 98,8 | 3,8 | 107,1 | 4,1 | 118,0 | 4,6 | 133,6 | 5,2 |
| 5760 | 96 | 52,2 | 1,5 | 63,5 | 1,8 | 70,6 | 2,0 | 79,8 | 2,3 | 93,1 | 2,7 | 106,9 | 3,1 | 115,9 | 3,4 | 127,6 | 3,7 | 144,5 | 4,2 |
| 7200 | 120 | 55,5 | 1,3 | 67,5 | 1,6 | 75,0 | 1,7 | 84,8 | 2,0 | 99,0 | 2,3 | 113,6 | 2,6 | 123,1 | 2,8 | 135,7 | 3,1 | 153,6 | 3,6 |
| 8640 | 144 | 58,3 | 1,1 | 71,0 | 1,4 | 78,8 | 1,5 | 89,2 | 1,7 | 104,0 | 2,0 | 119,4 | 2,3 | 129,4 | 2,5 | 142,6 | 2,8 | 161,4 | 3,1 |
| 10080 | 168 | 60,8 | 1,0 | 74,0 | 1,2 | 82,2 | 1,4 | 93,0 | 1,5 | 108,5 | 1,8 | 124,5 | 2,1 | 135,0 | 2,2 | 148,7 | 2,5 | 168,4 | 2,8 |

Starkniederschlagshöhen und -spenden gemäß KOSTRA-DWD-2020

Rasterfeld 161099

(Zeile 161, Spalte 99)

Örtliche Unsicherheiten in Abhängigkeit von Wiederkehrzeit T und Dauerstufe D

| Dauerstufe D | | Wiederkehrzeit T | | | | | | | | |
|--------------|-----|------------------|-----|-----|-----|------|------|------|------|-------|
| | | 1 a | 2 a | 3 a | 5 a | 10 a | 20 a | 30 a | 50 a | 100 a |
| min | Std | ± % | ± % | ± % | ± % | ± % | ± % | ± % | ± % | ± % |
| 5 | | 14 | 15 | 16 | 17 | 18 | 18 | 19 | 19 | 20 |
| 10 | | 17 | 19 | 20 | 21 | 22 | 22 | 23 | 23 | 24 |
| 15 | | 18 | 20 | 21 | 22 | 23 | 24 | 24 | 25 | 25 |
| 20 | | 19 | 21 | 22 | 23 | 24 | 25 | 25 | 26 | 26 |
| 30 | | 19 | 21 | 22 | 23 | 24 | 25 | 25 | 26 | 27 |
| 45 | | 19 | 21 | 22 | 23 | 24 | 25 | 25 | 26 | 26 |
| 60 | 1 | 18 | 20 | 21 | 22 | 23 | 24 | 25 | 25 | 26 |
| 90 | 1,5 | 17 | 19 | 20 | 21 | 22 | 23 | 24 | 24 | 25 |
| 120 | 2 | 16 | 18 | 19 | 20 | 22 | 22 | 23 | 23 | 24 |
| 180 | 3 | 15 | 17 | 18 | 19 | 20 | 21 | 22 | 22 | 23 |
| 240 | 4 | 14 | 16 | 17 | 18 | 19 | 20 | 21 | 21 | 22 |
| 360 | 6 | 13 | 15 | 16 | 17 | 18 | 19 | 19 | 20 | 20 |
| 540 | 9 | 12 | 14 | 14 | 15 | 16 | 17 | 18 | 18 | 19 |
| 720 | 12 | 11 | 13 | 14 | 15 | 16 | 16 | 17 | 17 | 18 |
| 1080 | 18 | 11 | 12 | 13 | 14 | 14 | 15 | 16 | 16 | 17 |
| 1440 | 24 | 10 | 11 | 12 | 13 | 14 | 15 | 15 | 15 | 16 |
| 2880 | 48 | 10 | 11 | 11 | 12 | 13 | 13 | 14 | 14 | 15 |
| 4320 | 72 | 11 | 11 | 11 | 12 | 12 | 13 | 13 | 14 | 14 |
| 5760 | 96 | 11 | 11 | 11 | 12 | 12 | 13 | 13 | 13 | 14 |
| 7200 | 120 | 12 | 12 | 12 | 12 | 12 | 13 | 13 | 13 | 14 |
| 8640 | 144 | 13 | 12 | 12 | 12 | 12 | 13 | 13 | 13 | 14 |
| 10080 | 168 | 13 | 13 | 12 | 13 | 13 | 13 | 13 | 13 | 14 |

Parameter für abweichende T und D

Lokationsparameter ξ (Xi)

15,02550815

Skalenparameter α (Alpha)

4,5470963

Formparameter κ (Kappa)

-0,1

1. Koutsoyiannis-Parameter θ (Theta)

0,00932685

2. Koutsoyiannis-Parameter η (Eta)

0,72706399

Parameter für dauerstufenübergreifende Extremwertschätzung nach KOUTSOYIANNIS et al. 1998.

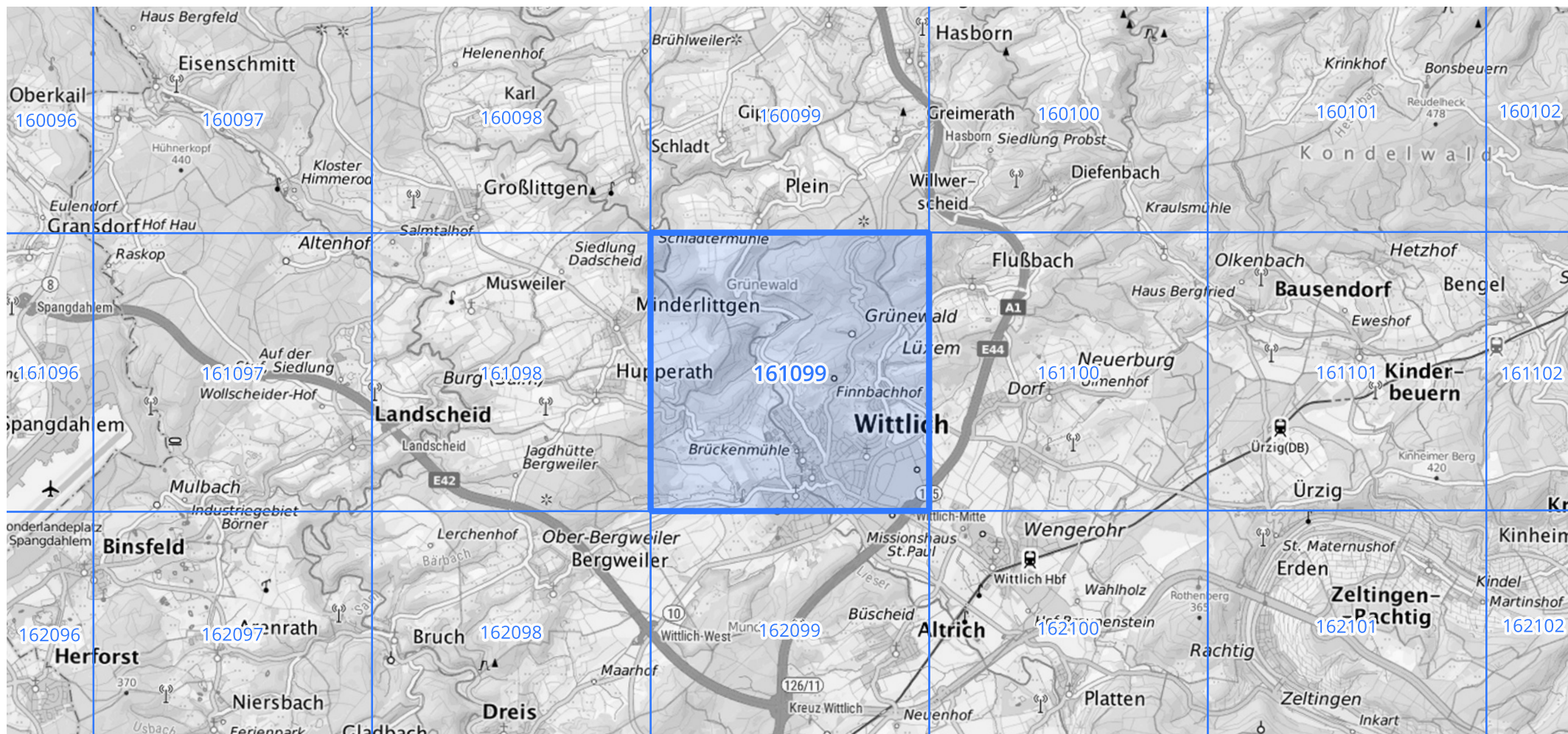
Siehe auch Anwendungshilfe zu KOSTRA-DWD-2020 des Deutschen Wetterdienstes.

Starkniederschlagshöhen und -spenden gemäß KOSTRA-DWD-2020

Rasterfeld 161099

(Zeile 161, Spalte 99)

Übersichtskarte des Rasterfeldes 161099, M 1 : 100 000



Quelle Rasterdaten: KOSTRA-DWD-2020 des Deutschen Wetterdienstes, Stand 12/2022.

Seite 3 von 3

Kartendarstellung: © Bundesamt für Kartographie und Geodäsie (2023), Datenquellen: https://sgx.geodatenzentrum.de/web_public/gdz/datenquellen/Datenquellen_TopPlusOpen.html

Für die Richtigkeit und Aktualität der Angaben wird keine Gewähr übernommen. Erstellt 01/2023.